

پاشندگی نوری یک ابرشبکه مبتنی بر $\text{GaAs}/\text{Al}_x\text{Ga}_{1-x}\text{As}$

جمشیدی، رضا؛ شکری، علی‌اصغر

گروه فیزیک، دانشکده علوم پایه، دانشگاه پیام نور، ص. پ. ۱۹۳۹۵-۳۶۹۷، تهران، ایران

چکیده

در این پژوهش بر روی یک ابرشبکه فوتونی یک بعدی که شامل زیرلایه‌ای با درجه ترکیبات مختلف از $\text{Al}_x\text{Ga}_{1-x}\text{As}$ می‌باشد مطالعه می‌کنیم. با استفاده از روش ماتریس انتقال، ساختار نواری نوری آن در دو نوع قطبش TE و TM مورد بررسی قرار می‌گیرد و ساختار از نظر عبور امواج در قطبش‌های مختلف نسبت به پارامترهای مختلف مورد مطالعه قرار گرفته است.

Photonic band structure of a superlattice based on $\text{GaAs}/\text{Al}_x\text{Ga}_{1-x}\text{As}$

Jamshidi, Reza; Shokri, Aliasghar

Department of Physics, Payame Noor University (PNU), P.O. Box 19395-3697, Tehran, Iran

Abstract

Here we have studied a one-dimensional photonic superlattice that includes substrates with different compositions' degree of $\text{Al}_x\text{Ga}_{1-x}\text{As}$. Use has been made of transmission matrices procedure to study its band structure in TE and TM polarization and wave transmission in different polarization is considered with respect to various parameters in this structure.

PACS No. 78

نتیجه این بلورها به عنوان بازتابندهای چندوجهی رفتار می‌کنند.

بنازگی مشاهده شده است که علاوه بر بلورهای دو بعدی و سه بعدی فوتونی بلورهای یک بعدی فوتونیکی هم می‌توانند ویژگی‌های بازتابنده چند جهتی را از خود بروز دهند. پس از کشف ساختار شبیه بلوری در سال ۱۹۸۴ توجه زیادی را به خود جلب کرده است.

در کار قبلی مان تغییرات خواص الکتریکی در ابرشبکه با غلظت‌های مختلف بررسی شد و در آن توانستیم رفتار گذار فاز از حالت فلزی به نیمرسانا را توجیه نماییم [۷].

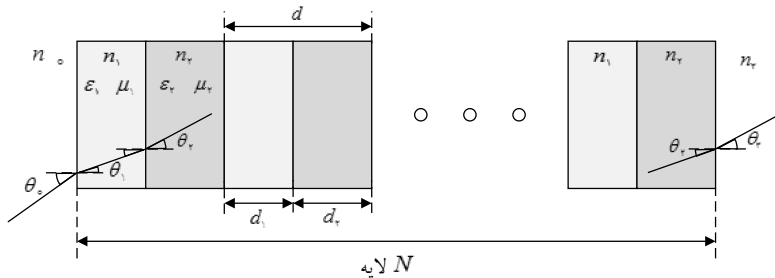
مقدمه

از آنجایی که کار اولیه یابلونیچ [۱] و جان [۲] بر روی بلورهای فوتونی توجه زیادی را به خود جلب کرده، کارهای قابل توجه بسیار زیادی بر روی طیف گسترده کاربردهای این بلورها انجام شده است. کاربردهایی مانند فیلترها [۳]، موجبر [۴]، سوئیچ ها [۵]، فیبرهای بلور فوتونی [۶] و غیره. باند شکاف فوتونی مطلق توسط فیبرهای بلور فوتونی سه بعدی آشکار شد که در این باند انتشار نور برای تمام زاویای تابش ورودی و تمام قطبش‌ها ممنوع است. بدین معنی که صرف نظر از زاویه تابش و قطبش، نور با فرکانسی که در ناحیه داخل شکاف بلور فوتونی باشد بطور کامل منعکس خواهد شد. در

هر لایه در صفحه xy همگن است. موج الکترومغناطیس با زاویه θ نسبت به محور z ها با ساختار برخورد می‌کند و به ترتیب با زاویه‌های θ_1 و θ_2 که طبق رابطه اسنل به دست می‌آیند وارد محیط‌های با ضریب شکست‌های n_1 و n_2 می‌شود. در نهایت با زاویه θ_3 از ساختار خارج می‌شود. دو مد الکترومغناطیس مستقل وجود دارد که به ترتیب مدهای TE و TM نامیده می‌شوند. بردار \vec{E} در موج TE و بردار \vec{H} در موج TM در جهت محور z ها در نظر گرفته می‌شود که عمود بر صفحه xy است.

مدل‌بندی مساله

ساختاری یک بعدی مطابق شکل ۱ که شامل N ساختار دولاپهای متناوب که از مواد همگن غیرپاشنده تشکیل شده است را در نظر می‌گیریم. هر لایه به ضخامت d است که ضخامت هر ورقه از آن d_1 و d_2 است به طوریکه $d = d_1 + d_2$. ضریب شکست‌های هر لایه n_1 و n_2 است. پارامترهای فیزیکی هر لایه ϵ_1 ، μ_1 و μ_2 است. این ساختار در محیطی قرار دارد که ضریب شکست سمت چپ n_0 و ضریب شکست سمت راست آن n_∞ است. راستای تناب ساختار لایه‌بندی را در جهت محور z ها در نظر می‌گیریم که



شکل ۱: نمایی از ساختار چند لایه غیر پاشنده

است که در آن X فرکانس بهنجار شده، c سرعت نور در خلاء، ω بسامد زاویه‌ای است. با استفاده از رابطه (۱) ماتریس مشخصه انتقال هر لایه به صورت زیر به دست می‌آید

$$\mathbf{M}(d) = \mathbf{M}(d_1) \cdot \mathbf{M}(d_2) \quad (2)$$

برای ساختاری که دارای N لایه است ماتریس انتقال به صورت زیر به دست می‌آید

$$\mathbf{M}(Nd) = \underbrace{\mathbf{M}(d) \cdot \mathbf{M}(d) \cdots \mathbf{M}(d)}_{N \text{ times}} = [\mathbf{M}(d)]^N = \begin{bmatrix} M_{11} & M_{12} \\ M_{21} & M_{22} \end{bmatrix} \quad (3)$$

ضرایب بازتاب و عبور r و t طبق روابط زیر به دست می‌آیند

$$r = \frac{(M_{11} + M_{12} p_2) p_0 - (M_{21} + M_{22} p_2)}{(M_{11} + M_{12} p_2) p_0 + (M_{21} + M_{22} p_2)}$$

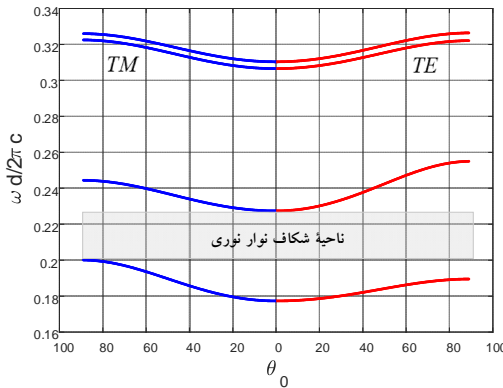
برای محاسبه بازتابندگی و تراگسیلندگی از روش ماتریس انتقال استفاده می‌کنیم. ماتریس مشخصه انتقال هر لایه طبق رابطه زیر به دست می‌آید [۹, ۸].

$$\mathbf{M}(d_j) = \begin{bmatrix} \cos \beta_j & -\frac{i}{p_j} \sin \beta_j \\ -ip_j \sin \beta_j & \cos \beta_j \end{bmatrix}, \quad j=1,2 \quad (1)$$

که پارامتر p_j وابسته به قطبش است که برای موج TE، $p_j = \cos \theta_j / n_j$ و برای موج TM $p_j = n_j \cos \theta_j$ است و مقدار β_j مطابق رابطه

$$\beta_j = 2\pi a_j n_j X \cos \theta_j, \quad d_j = a_j d, \quad a_1 + a_2 = 1, \quad X = \frac{\omega d}{2\pi c}$$

(وابسته به طول موج) می شود که از رابطه استنل
 $\sin \theta(\lambda)/\sin \theta_0 = n_0/n(\lambda)$ به دست می آید.



شکل ۲: تغییرات تابع پاشندگی نوری بر حسب فرکانس بهنجار شده به صورت
 تابعی از زاویه تابش فرویدی. در اینجا غلظت آلومینیوم در زیرلایه های زوج $0/5$
 انتخاب شده است.

در شکل ۲، تغییرات تابع پاشندگی به صورت تابعی از زاویه فرویدی
 را نشان می دهد. همان طوری که مشاهده می شود مقادیر مینیمم در
 زاویه با تابش فرویدی صفر اتفاق می افتد. مقدار شکاف نواری نوری
 حدود 0.23×10^{-3} می باشد که این مقدار به غلظت ناخالصی بستگی دارد.
 همچنین در مقایسه با ساختار نواری الکترونی دیده می شود که گذار
 نوری بین شکافتگی نوارها غیرمستقیم است. نمودارهای سمت
 راست و چپ به ترتیب بیانگر قطبش TE و TM است.

رابطه (۴) بر اساس مدلی است که در مرجع [۱۰] با برآش داده های
 تجربی ماده مورد نظر به دست آمده است. با توجه به تابع پاشندگی
 نوری در شکل ۳ مشاهده می شود که برای غلظت های مختلف
 حداقل $\omega d / 2\pi c$ تا عدد خاصی که در اینجا $x = 0.5$ تا حدود
 0.42 تغییرات نشان می دهد. این محدودیت به واسطه انتخاب مقدار
 حقیقی ضریب شکست است که در مدل ذکر شده با داده های تجربی
 برآش نموده شده [۱۰]. شکل ۳، ضریب شکست تا مقدار حقیقی

$$t = \frac{\gamma p_0}{(M_{11} + M_{12}p_\gamma)p_0 + (M_{21} + M_{22}p_\gamma)}$$

و بازتابندگی از رابطه $R = |r|^\gamma / p_0$ و تراگسیلندگی از رابطه
 $T = p_\gamma |r|^\gamma / p_0$ به دست می آیند. در ساختاری با تعداد تنابوب
 محدود طبق قضیه بلوخ رابطه پاشندگی در هر زاویه تابش بصورت
 زیر به دست می آید

$$\cos(kd) = \frac{1}{\gamma} \operatorname{Tr}(\mathbf{M})$$

$$\cos(kd) = \cos \beta_1 \cos \beta_\gamma - \frac{1}{\gamma} \left(\frac{p_\gamma}{p_1} + \frac{p_1}{p_\gamma} \right) \sin \beta_1 \sin \beta_\gamma \quad (3)$$

نتایج و بحث

در محاسبات عددی از ماده $\text{Al}_x\text{Ga}_{1-x}\text{As}$ با درجه غلظت x در هر
 ورقه از هر لایه استفاده می شود. مقدار غلظت برای زیرلایه های فرد
 x_1 و برای زیرلایه های زوج x_2 است. مقدار ضریب شکست

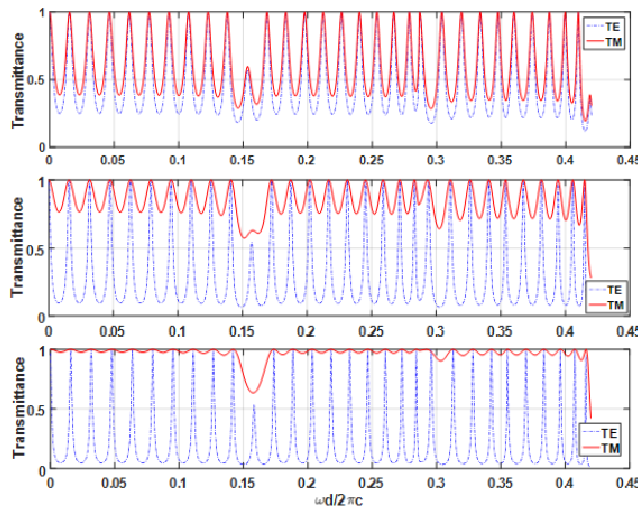
طبق رابطه زیر به دست می آید [۱۰].

$$n(\lambda) = \sqrt{A_0 \left[f(\chi) + \frac{f(\chi_{so})}{\gamma} \left(\frac{E_0}{E_0 + \Delta_0} \right)^{\frac{1}{\gamma}} \right] + B_0} \quad (4)$$

که در آن $\chi_{so} = \frac{hc}{\lambda(E_0 + \Delta_0)}$ و $f(\chi) = \frac{hc}{\lambda E_0} = \frac{2 - \sqrt{1+\chi} - \sqrt{1-\chi}}{\chi}$ است.

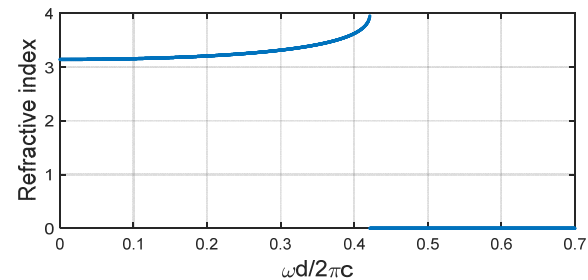
همچنین n ضریب شکست، λ طول موج، c سرعت نور در خلاء،
 h ثابت پلانک، $x = 0.3 + 19.0x$ و $A_0 = 6.3 + 19.0x$ و $B_0 = 9.4 - 10.2x$ ثابت هایی
 هستند که به وسیله برآش با مقادیر تجربی به دست می آیند. پارامتر
 x کسری از Al است که در $\text{Al}_x\text{Ga}_{1-x}\text{As}$ وجود دارد. $E_0 = 1.425 + 1.155x + 0.37x^2$ شکاف نوار اصلی در نقطه Γ می باشد.
 از این رو، با در نظر گرفتن Δ انرژی شکافتگی اسپین-مدار، به
 دست می آید. در اینجا، لایه های غیر مغناطیسی در نظر گرفته شده اند.

موج نوری که از طرف چپ با ضریب شکست n تحت زاویه θ می باشد.
 به ابر شبکه تابیده می شود چون تکفam نیست بنابراین با ورود به اولین
 لایه ابر شبکه تجزیه شده و برای هر طول موج λ ، زاویه شکست



شکل ۴: تغییرات تراگسیلنندگی بر حسب زاویه زاویه تابش فرودی به ترتیب از بالا به پایین، 30° و 70° درجه است. در اینجا غلظت آلومینیوم در زیرلایه های زوج $5/5$ انتخاب شده است. نتایج مربوط به قطبش TM و TE به ترتیب با خط توپر و خطچمن نمایش داده است.

آمده است و تا این ناحیه مدل ما صادق می باشد. برای راحتی جایی که ضریب شکست موهومی می شود عمدتاً مقدار صفر برای ضریب شکست انتخاب شده است.



شکل ۵: نمودار ضریب شکست بر حسب فرکانس بهنجار شده در حالت $x=0.5$. همانگونه که مشاهده می شود از فرکانس 0.42 به بعد ضریب شکست موهومی می شود.

نتیجه گیری

با توجه به نتایج به دست آمده از ساختار لایه بندی شده $\text{Al}_x\text{Ga}_{1-x}\text{As}$ می توان به عنوان بلور فوتونی برای جداسازی امواج TE و TM در فرکانس های مختلف استفاده کرد و در طول موج های پایین می توان با انتخاب مناسب از درجه کسر ترکیبی مختلف، شکاف باندهای مختلفی با دامنه فرکانسی متفاوت به دست آورد.

مرجع ها

- [1] E. Yablonovitch, *Phys. Rev. Lett.* **58**, 2059 (1987).
- [2] S. John, *Phys. Rev. Lett.* **58**, 2486 (1987).
- [3] S. P. Ojha, P. K. Choudhary, P. Khastagir, O. N. Singh, *Jpn. J. Appl. Phys.* **31**, 281 (1992).
- [4] H. Taniyama, *J. Appl. Phys.* **91**, 3511 (2002).
- [5] P. R. Villenruwe, D. A. Abraham, S. Fan, J. D. Joannopoulos, *Opt. Lett.* **21**, 2017 (1996).
- [6] P. St. J. Russell, " *Science*, **299**, 358 (2003).
- [7] A. A. Shokri, *Physica B*, **438** (2014) 13 – 16.
- [8] P. Yeh, *Optical Waves in layered media*, Wiley, New York, (1988).
- [9] M. Born, E. Wolf, *Principles of Optics*, 7th ed., Cambridge University Press, New York (1999).
- [10] S. Adachi, *J. Appl. Phys.* **58**, No.3, (1985).

در شکل ۴، تغییرات تراگسیلنندگی بر حسب زاویه تابش فرودی رسم شده است. همان گونه که مشاهده می شود هرچه زاویه تابش افزایش می یابد عبور موج TM افزایش و عبور موج TE کاهش می یابد. علت آن می تواند به نزدیک شدن مولفه میدان الکتریکی نسبت به راستای فصل مشترک زیر لایه ها باشد که مشابه خواص الکتریکی در حالت عمود بر فصل مشترک مقاومت بیشتری در مقایسه با حالت موازی با فصل مشترک احساس می کند. در شکل ۴ حداقل فرکانس بهنجار شده مقدار 0.42 انتخاب شده که تا این محدوده ضریب شکست حقیقی است.